

Introdução a Relaxação Magnética Nuclear

André L. B. B. e Silva

(Edição do Autor)

Licença:

```
<!--Creative Commons License--><a rel="license"
href="http://creativecommons.org/licenses/by/2.0/br/"></a><br/>Esta
obra est&#225; licenciada sob uma <a rel="license"
href="http://creativecommons.org/licenses/by/2.0/br/">Licen&#231;a Creative
Commons</a>. <!--/Creative Commons License--><!-- <rdf:RDF
xmlns="http://web.resource.org/cc/" xmlns:dc="http://purl.org/dc/elements/1.1/"
xmlns:rdf="http://www.w3.org/1999/02/22-rdf-syntax-ns#">
<Work rdf:about="">
<license
```



Instituto de Física de São Carlos
Universidade de São Paulo



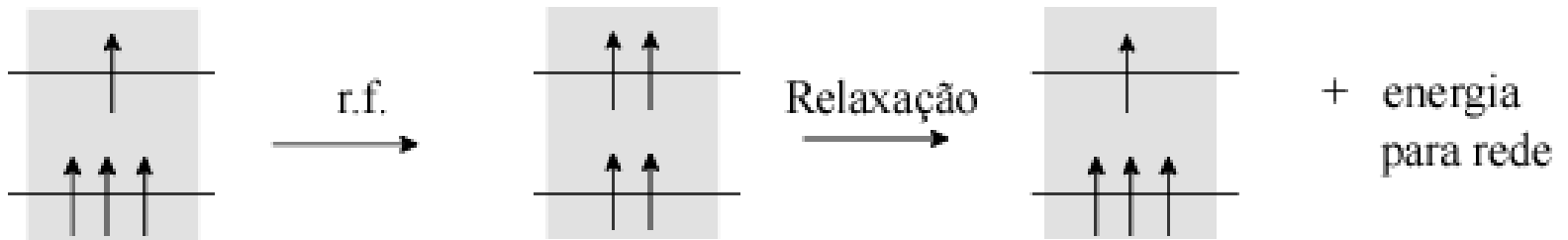
Laboratório de Espectroscopia de Alta Resolução

Introdução a Relaxação Magnética Nuclear

Aluno: André L. B.B. e Silva

Professor: Tito José Bonagamba

Fenômeno de Relaxação



Relaxação Longitudinal T_1 (Spin-rede)



Relaxação Transversal T_2 (Spin-spin)



Relaxação Transversal $T_{1\rho}$ (rotante)

Tempos de Relaxação



Relaxação Longitudinal T_1 (Spin-rede)

Mede a relaxação da componente da magnetização paralela ao campo magnético aplicado, T_1 é sensível a movimentos rápidos da ordem de MHz.



Relaxação Transversal T_2 (Spin-spin)

Mede a relaxação da componente transversal da magnetização a qual é sensível aos movimentos caracterizados por frequências muito baixa (10 Hz).



Relaxação Transversal $T_{1\rho}$ (rotante)

Mede a relaxação da componente da magnetização paralela ao campo magnético aplicado, T_1 é sensível a movimentos rápidos de ordem de MHz.

Tipos de Interações e Mecanismos

Interações:

Interações de natureza magnéticas que envolvem acoplamento de momentos magnéticos

Interações de natureza elétrica, que envolvem acoplamentos com o momento de quadrupolo elétrico do núcleo.

Interações mais importantes:

- a) Acoplamentos dipolo – dipolo homo e hetero nucleares;
- b) Acoplamentos dipolar escalar entre o spin nuclear e spin eletônico;
- c) Interação entre o spin nuclear e os elétrons de condução.

Mecanismos de relaxação:

- (i) Dipolar – Homo e Hetero;
- (ii) Relaxação por desvio químico;
- (iii) Relaxação por acoplamento escalar;
- (iv) Relaxação spin rotational;
- (v) Mecanismo de Korringa em metais.

Exemplo de Interações

Interações:

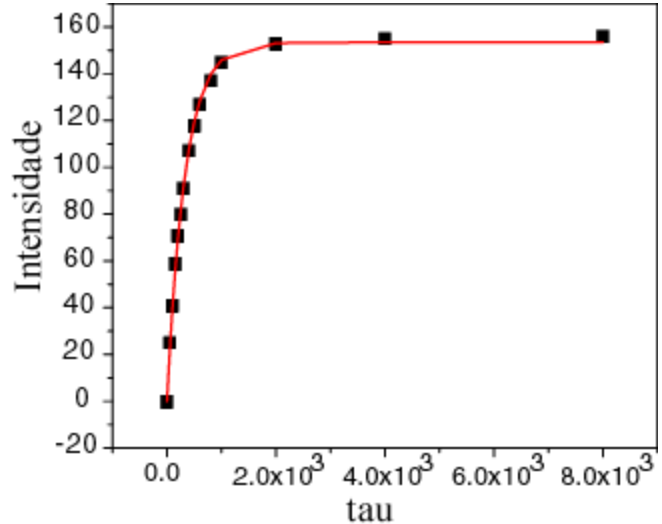
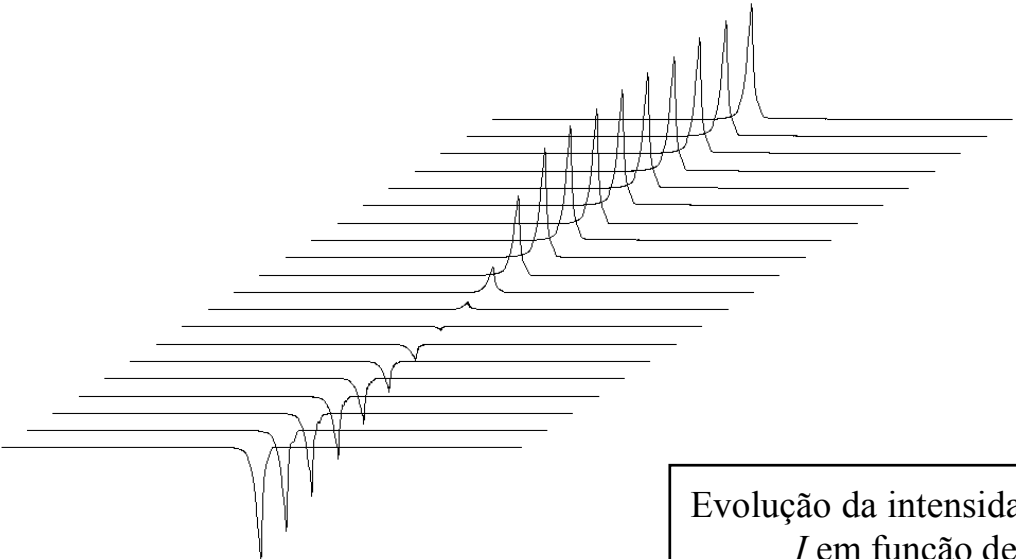
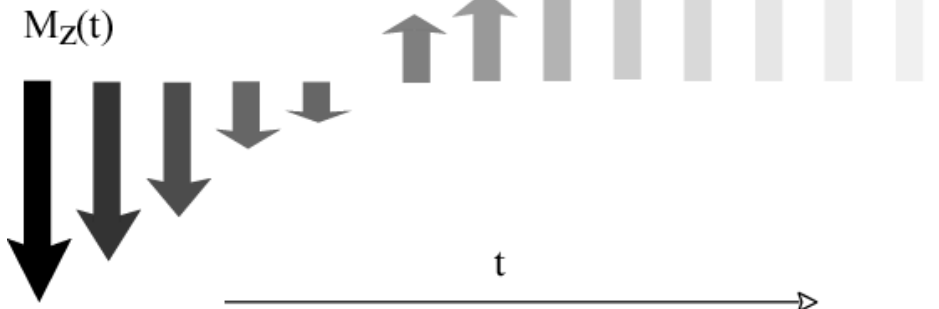
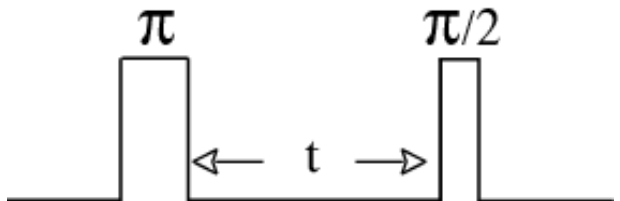
$$H(^{23}\text{Na}) = H_Z^{(0)} + \overbrace{H_Q^{(1)}}^{I > 1/2} + \overbrace{H_D^{(1)}}^{\vec{\mu}}$$

A taxa de relaxação spin-rede T_1 é uma medida da densidade espectral das flutuações. Os efeitos dos movimentos iônicos estão geralmente incorporados a teoria de relaxação de RMN através do tempo de correlação τ_C .

Para o estudo e interpretações de medidas de taxa de relaxação, precisamos adotar um modelo. Neste caso utilizamos o modelo BPP – Bloembergen, Pound e Purcell.

Medidas de Relaxação

Inversão Recuperação:

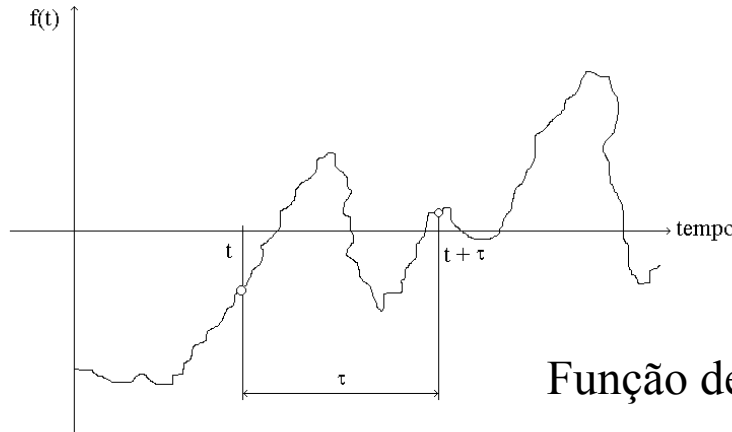


Evolução da intensidade I em função de t .

Função Densidade Espectral

$$G(\tau) = e^{-t/\tau}$$

$$G(\tau) = \overline{f(t+\tau) \cdot f(t)}$$



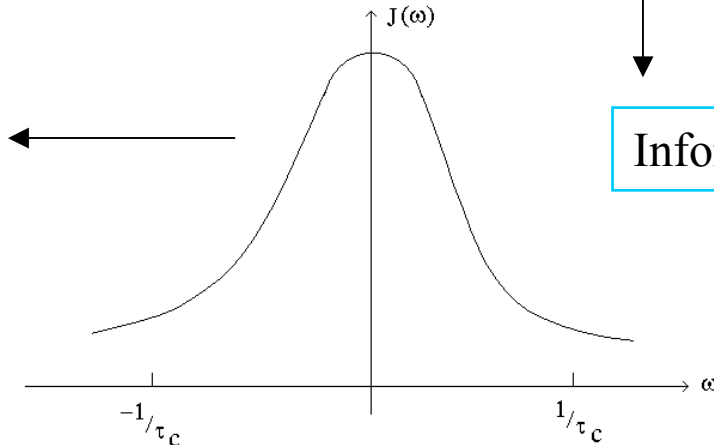
$$J(\omega) = \int_{-\infty}^{\infty} G(\tau) e^{i\omega\tau} d\tau$$

Função densidade espectral

$$J(\omega) = \int_{-\infty}^{\infty} e^{-\tau/\tau_c} e^{i\omega\tau} d\tau \Rightarrow J(\omega) = C \left(\frac{2\tau_c}{1 + \omega^2 \tau_c^2} \right)$$

O fator dois é devido a a simetria

Lorentziana



O Máximo desta curva é

$$\omega_0 \tau_c = 1$$

Medidas de Taxa de Relaxação

Temos que considerar um modelo:


$$\left(\frac{1}{T_1}\right) = C \left(\frac{\tau_c}{1 + \omega^2 \tau_c^2} + \frac{4\tau_c}{1 + 4\omega^2 \tau_c^2} \right) \quad \text{BPP}$$


$$\left(\frac{1}{T_2}\right) = C \left(\frac{3}{2}\tau_c + \frac{5/2\tau_c}{1 + \omega^2 \tau_c^2} + \frac{\tau_c}{1 + 4\omega^2 \tau_c^2} \right) \quad \text{BPP}$$


$$\left(\frac{1}{T_{1\rho}}\right) = C \left(\frac{3/2\tau_c}{1 + 4\omega^2 \tau_c^2} + \frac{5/2\tau_c}{1 + \omega^2 \tau_c^2} + \frac{\tau_c}{1 + 4\omega^2 \tau_c^2} \right) \quad \text{BPP}$$

Analisando a função: T_1^{-1}

$$\rightarrow \left(\frac{1}{T_1} \right) = \underbrace{C}_{\text{interação}} \underbrace{\left(\frac{\tau_c}{1 + \omega^2 \tau_c^2} + \frac{4\tau_c}{1 + 4\omega^2 \tau_c^2} \right)}_{\text{dinâmica}}$$

O máximo desta curva é :
 $\omega_0 \tau_c = 0.62$

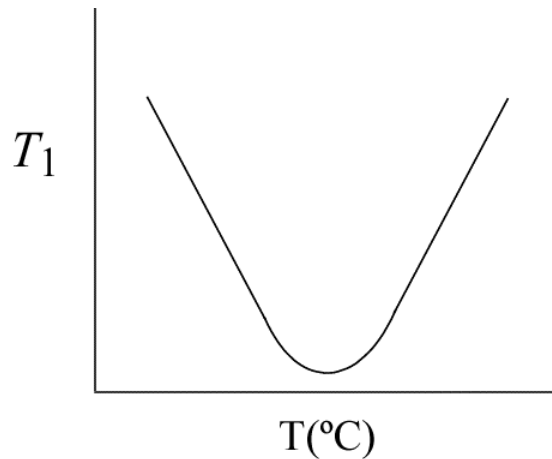
C = é uma constante de interação.

Para o caso de interação dipolar (I-S)

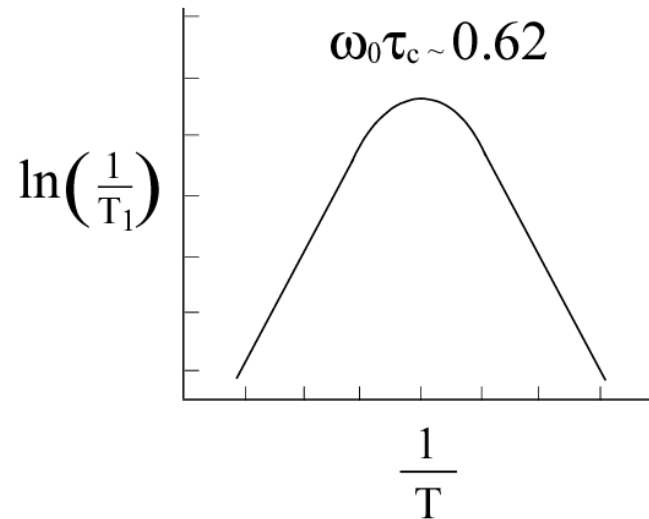
$$C_I = \gamma_I^4 \hbar^2 I(I+1) / r_{II}^6 \quad C_S = \gamma_I^2 \gamma_S^2 \hbar^2 S(S+1) / r_{IS}^6$$

ω_0 = Frequência de larmor

τ_c = Tempo de correlação.

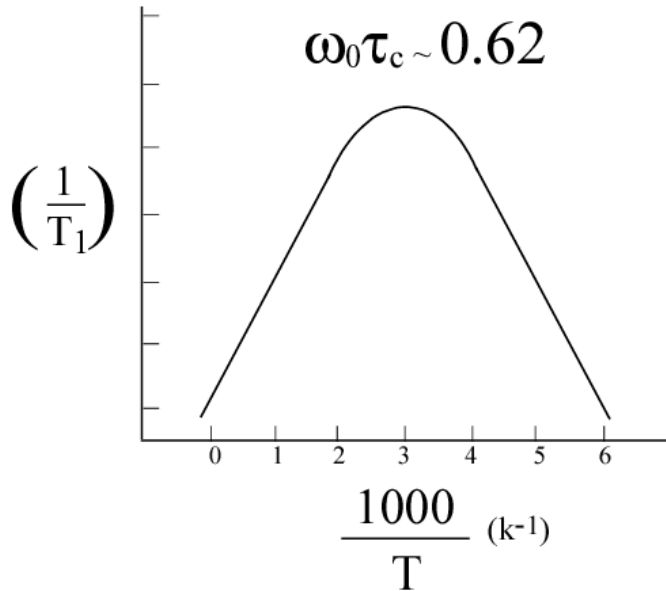


Usa-se a forma de Arrhenius



Parâmetros Obtido a partir de T_1^{-1}

Forma para Publicação:



O máximo desta curva é : $\omega_0 \tau_c = 0.62$

ω_0 = Frequência de larmor :

τ_c = Tempo de correlação.

$$\left(\frac{1}{T_1}\right) = \underbrace{C}_{\text{interação}} \left(\underbrace{\frac{\tau_c}{1 + \omega^2 \tau_c^2} + \frac{4\tau_c}{1 + 4\omega^2 \tau_c^2}}_{\text{dinâmica}} \right)$$

$$\left(\frac{1}{T_1}\right) = C \left(\frac{\tau_c}{1 + (0.62)^2} + \frac{4\tau_c}{1 + (4 \times 0.3844)} \right)$$

$$\left(\frac{1}{T_1}\right) = C \left(\frac{\tau_c}{1.3884} + \frac{4\tau_c}{1 + 1.5376} \right)$$

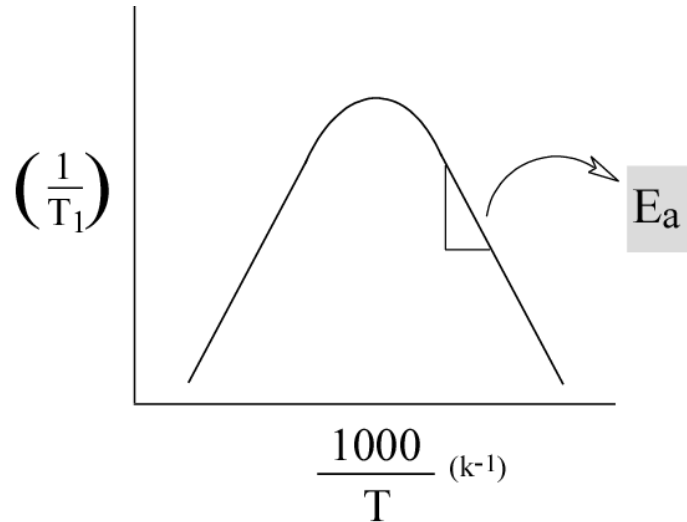
$$\left(\frac{1}{T_1}\right) = C \tau_c \left(\frac{1}{1.3884} + \frac{4}{2.5376} \right)$$

$$\left(\frac{1}{T_1}\right) = C \tau_c (2.2986)$$

$$\left(\frac{1}{T_1}\right) = 1.42 \frac{C}{\omega_0}$$

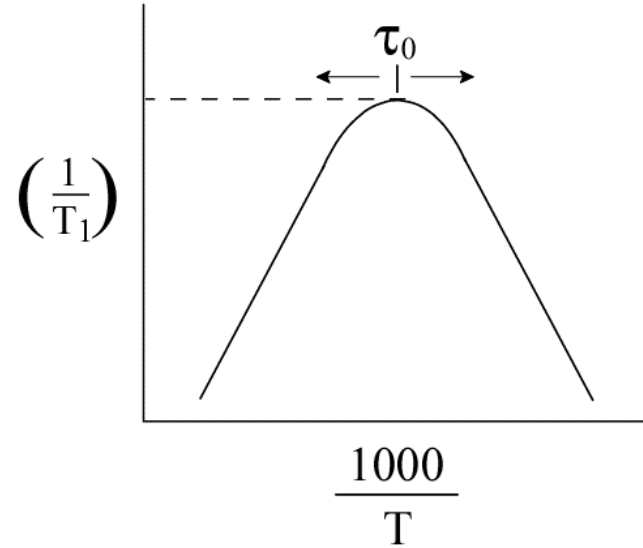
$$C = \left(\frac{1}{T_1}\right) \frac{\omega_0}{1.42}$$

Parâmetros Dinâmicos Obtidos



Energia de Ativação

$$E_a = \frac{\ln\left(\frac{1}{T_1}\right)_1 - \ln\left(\frac{1}{T_1}\right)_2}{\left(\frac{1000}{T}\right)_1 - \left(\frac{1000}{T}\right)_2} \times 1000 \times k$$



Tempo de Correlação

$$\tau_c = \tau_0 \exp(E_a / kT)$$

$$\tau_c = \frac{0.62}{\omega_0} = \frac{0.62}{2\pi\nu}$$

Prefator de relação de Arrhenius

$$\tau_0 = \frac{\tau_c}{\exp(E_a / kT)}$$

Parâmetros obtidos a partir da Taxa de Relaxação

Coeficientes de Difusão

$$D = f \left(\frac{d^2}{6\tau_c} \right)$$

f = é o fator de correlação geométrica ~ 0.65 **PbF₂**

d^2 = é a distância do salto.

D = cm²/s

$$f = d^{-1} (U_0 / 2m)^{1/2} \begin{cases} d = r_{FF} \\ U_0 = \text{potencial} \\ m = \text{fluorine mass} \end{cases}$$

Condutividade iônica

$$\sigma = \frac{Ne^2 D}{kT}$$

N = número de portadores

D = coeficiente de difusão

σ = S/cm

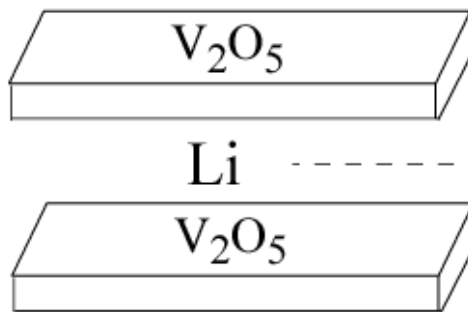
Informação Macroscópica

Cuidados ao medir a Taxa de Relaxação

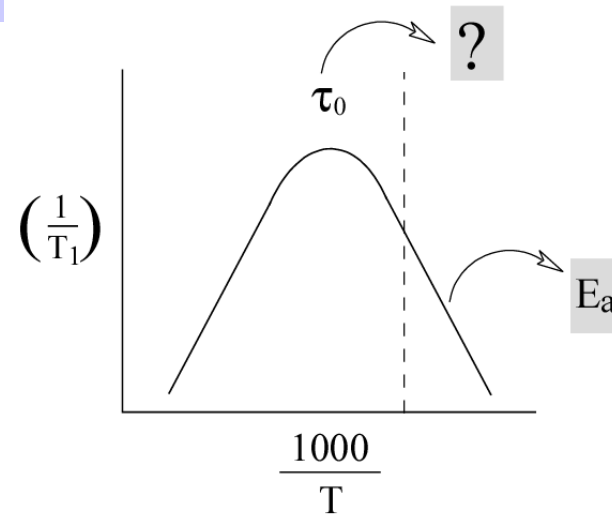
1 Não foi observado T_1



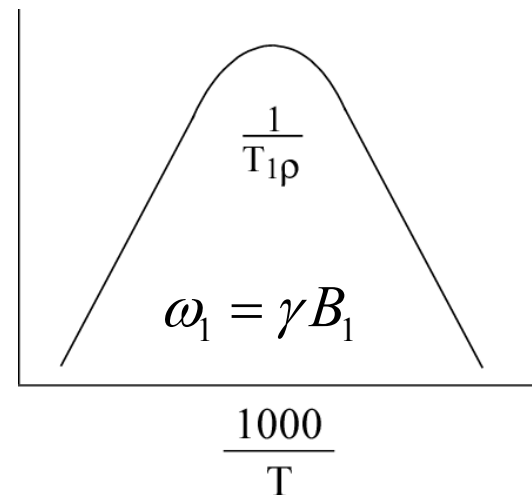
Optou por medir $T_{1\rho}$



2



3



Interação Dipolar e Quadrupolar (1)

Exemplo: ${}^7\text{Li}$ e ${}^{31}\text{P}$ NMR em $\text{Li}_3\text{Sc}_2(\text{PO}_4)_3$

Condutor Superiônico

$$\left(\frac{1}{T_1}\right) = \underbrace{\left(\frac{1}{T_1}\right)_{dip}}_{C_d} + \underbrace{\left(\frac{1}{T_1}\right)_Q}_{C_Q}$$

Ao estudarmos taxa de relaxação sempre somamos as taxas de relaxações

Devemos saber qual taxa de relaxação prevalece

$$C_d \sim \frac{\gamma^4 \hbar^2 I(I+1)}{r_{IS}^6}$$

$$C_Q \sim \frac{\gamma^4 \hbar^2 I(I+1)}{r_{IS}^6}$$

$$\left(\frac{1}{T_1}\right)_Q = \underbrace{\frac{3\pi^2(2I+3)}{10I^2(2I-1)} \left(\frac{e^2 q Q}{h}\right)^2}_{C_Q} \left\{ \frac{\tau_c}{1 + (\omega_0 \tau_c)^2} + \frac{4\tau_c}{1 + (2\omega_0 \tau_c)^2} \right\}$$

Interação Deslocamento Químico Anisotrópico (2)

Exemplos: C₆₀ - Fullerenos

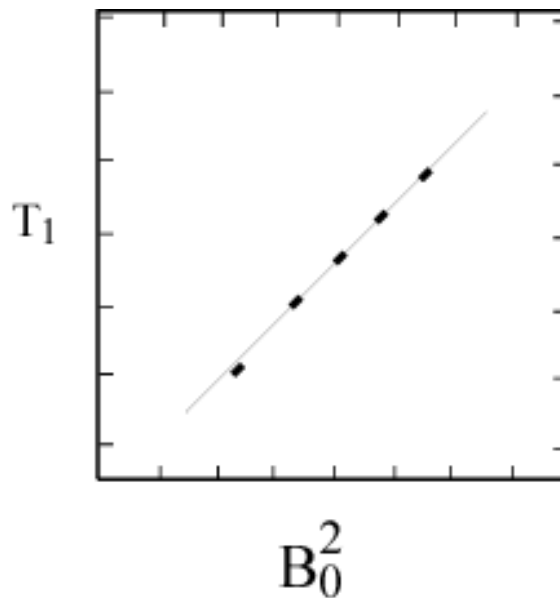
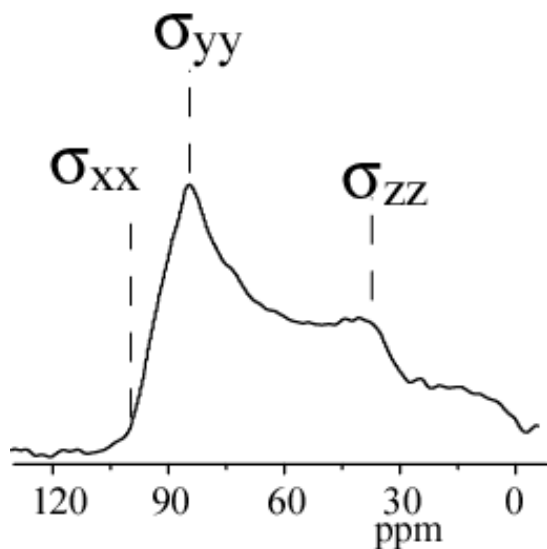
$$\delta_{CSA} = \sigma_{33} - \sigma_{iso}$$

$$\sigma_{iso} = \frac{\sum \sigma_{ii}}{3}$$

$$\eta_{CSA} = \frac{\sigma_{yy} - \sigma_{xx}}{\sigma_{zz} - \sigma_{iso}} = \frac{\sigma_{yy} - \sigma_{xx}}{\delta_{CSA}}$$

$$\left(\frac{1}{T_1} \right) \propto \gamma^2 B_0^2 \underbrace{(\sigma_{\parallel} - \sigma_{\perp})^2}_{\Delta\sigma} \underbrace{\left(1 - \frac{\eta^2}{3} \right)}_{\sim 1} \left\{ \frac{2\tau_c}{1 + (\omega_0 \tau_c)^2} \right\}$$

O termo $\Delta\sigma$ deve apresentar um valor considerável para que haja relaxação por CSA



Interação Dipolar e Quadrupolar (3)

Exemplo: ^7Li e Poli(Oxido de Etileno) - PEO

Eletrólito Polimérico

Razão Oxigênio-Lítio: $y = [\text{O}]/[\text{Li}]$.

$T_g \sim -60\text{ }^\circ\text{C}$ (puro) $T_m \sim 60\text{ }^\circ\text{C}$ $T_g \sim -20\text{ }^\circ\text{C}$ (dopado).

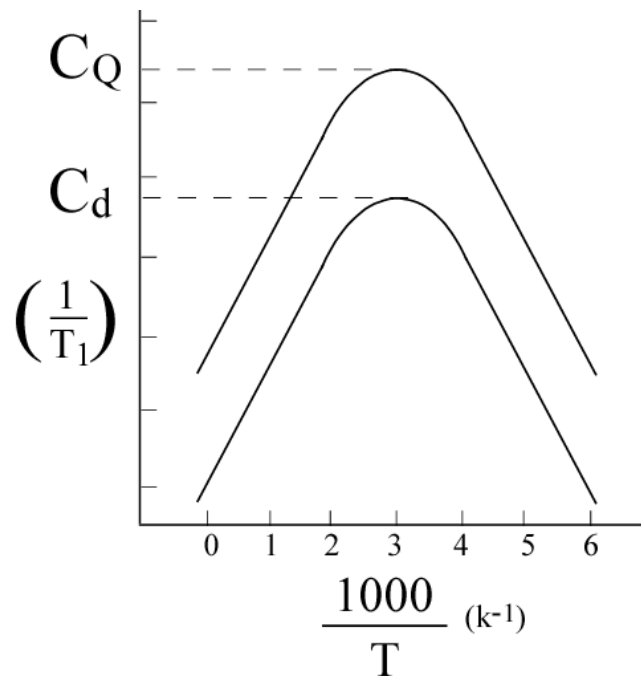
O ^7Li e o ^1H apresentam a mesma dinâmica, mas há interações diferentes, como mostrado no gráfico.

$$\left(\frac{1}{T_1}\right)_Q = C_Q \left\{ \frac{\tau_c}{1 + (\omega_0 \tau_c)^2} + \frac{4\tau_c}{1 + (2\omega_0 \tau_c)^2} \right\}$$

$$\left(\frac{1}{T_1}\right) = C_d \left(\frac{\tau_c}{1 + \omega^2 \tau_c^2} + \frac{4\tau_c}{1 + 4\omega^2 \tau_c^2} \right)$$

$$C_Q \sim \frac{\gamma^4 \hbar^2 I(I+1)}{r_{IS}^6}$$

$$C_d \sim \frac{\gamma^4 \hbar^2 I(I+1)}{r_{IS}^6}$$



$$C_{^1\text{H}} \neq C_{^7\text{Li}}$$

Outros Mecanismos na Taxa de Relaxação (1)

Sistemas: Hidretos metálicos

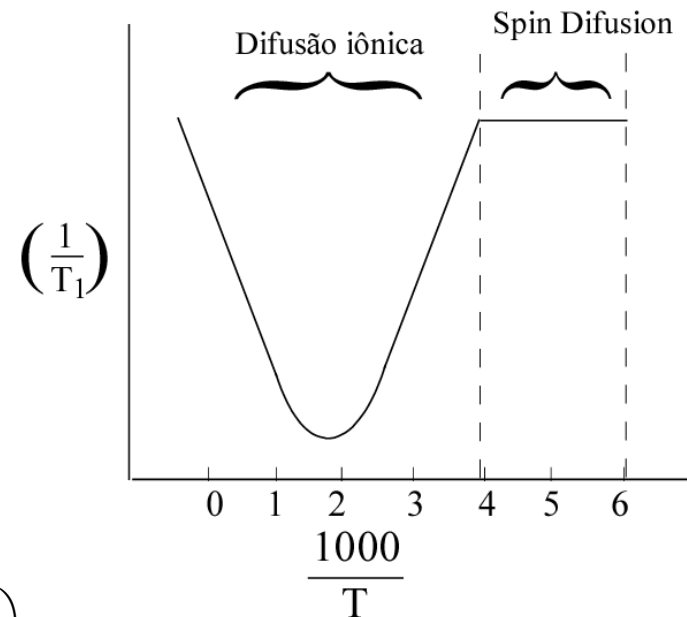
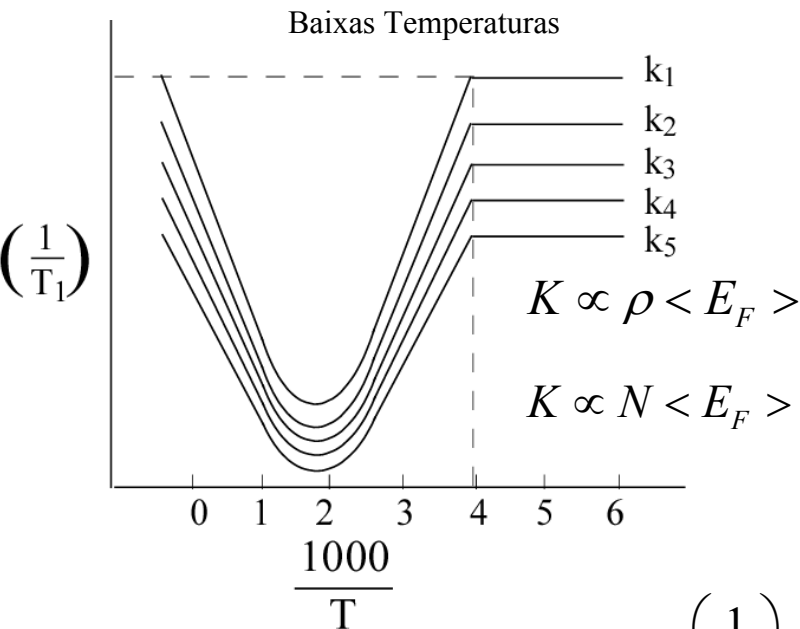
Constante de Korringa

$$T_1 \cdot T(^{\circ}C) = K$$

O Valor de K varia com a quantidade de impurezas paramagnéticas

Mecanismos:

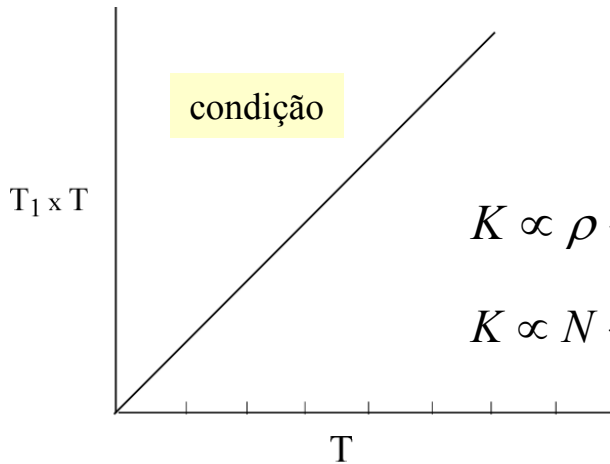
- 1) Altas Temperaturas: Difusão do Hidrogênio;
- 2) Baixa Temperatura (1): Mecanismo de Korringa;
- 3) Baixa Temperatura (2): Spin-Difusão devido a impurezas paramagnéticas.



$$\frac{1}{T_1} = \left(\frac{1}{T_1} \right)_H + \left(\frac{1}{T_e} \right) + \left(\frac{1}{T_1} \right)_{Para}$$

Outros Mecanismos na Taxa de Relaxação (2)

Sistemas: Fullerenos



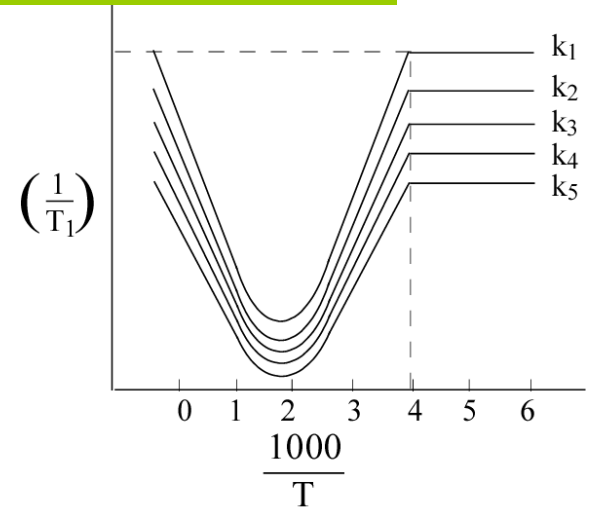
Constante de Korringa

$$T_1 \cdot T(^{\circ}C) = K$$

Lei de Condução

$$K \propto \rho < E_F >$$

$$K \propto N < E_F >$$



Densidade de estados para diferentes Fullerenos

$$\frac{1}{T_1 \cdot T} = \frac{\pi k}{\hbar} A^2 N(E_F)^2$$

$$\begin{cases} N^K(E_F) = 17 eV^{-1} \\ N^{Rb}(E_F) = 22 eV^{-1} \end{cases}$$

$$H_{hip} = A \vec{I} \cdot \vec{S}$$

Densidade de estados

$$N(E_F)^2 = \frac{\hbar}{A^2 \pi T_1 T} \left(\frac{1}{eV} \right)$$

$$\frac{1}{T_1} = \left(\frac{1}{T_1} \right)_H + \left(\frac{1}{T_e} \right) + \left(\frac{1}{T_1} \right)_{Para}$$

Efeitos de Dimensionalidade

Dinâmica 3D:

$$\left(\frac{1}{T_1}\right)^{3D} = C \left\{ \frac{\tau_c}{1 + (\omega_0 \tau_c)^2} \right\}$$

Dinâmica 2D:

$$\left(\frac{1}{T_1}\right)^{2D} \propto C \tau_c \ln \left\{ \frac{\omega_0}{\omega} \right\} \quad \omega_0 \tau_c \ll 1$$



Dinâmica 1D:

$$\left(\frac{1}{T_1}\right)^{1D} = C \tau_d \left\{ \frac{1}{\sqrt{\omega_0}} \right\}$$

Utilizando Modelo BPP para a dimensionalidade:

$$\left(\frac{1}{T_1}\right)^{3D} = C \left\{ \frac{\tau_c}{1 + (\omega_0 \tau_c)^2} + \frac{4\tau_c}{1 + (2\omega_0 \tau_c)^2} \right\}$$

$$\left(\frac{1}{T_1}\right)^{2D} = C \tau_c \left\{ \ln \left(\frac{\tau_c}{1 + (\omega_0 \tau_c)^2} \right) + 4 \ln \left(\frac{\tau_c}{1 + (2\omega_0 \tau_c)^2} \right) \right\} \quad \left(\frac{1}{T_1}\right)_{Max} \text{ em } \omega_0 \tau_c \sim 0.3$$

